

IV-32

ネットワークの連続体近似による交通量配分

京都大学工学部 正員 飯田恭敬
 愛媛大学工学部 正員 朝倉康夫
 京都大学大学院 学生員 ○楊 海
 京都大学大学院 学生員 進士 驥

1.はじめに

広域高密都市圏を対象とした交通量配分には、データ作成、数値計算、計算結果の評価等に膨大な作業量が必要である。特にマクロな交通計画においては、詳細なリンクフローは必ずしも必要ではなく、都市内の概略フローがわかれれば十分に実用的である場合が多い。そこで本研究では、このようなレベルの計画への適用を目的としたネットワークの連続体近似の考え方に基づいて、対象領域を要素ごとに分割し、要素レベルの走行時間関数を作成して、交通量配分計算を効率的に行う方法を提案する。

2.連続体近似の考え方と要素通過時間関数の設定

対象領域をFigure 1に示すような四角形要素を用いて分割する。一つの要素を通過するに要する時間は、交通の流入・流出方向、交通の起・終点によらず、すべて等しいものとする。この仮定により、要素各辺を横切る流入・流出交通を明示的に区分した要素フロー関係は、Figure 2に示すような簡略化ネットワークで表示できる。この図の中央の矢印は要素通過リンクで、このリンクを通過するフローに走行時間（要素通過時間）がかかるものとする。それ以外の矢印は要素同士を結ぶ出入りリンクで、走行時間が0のダミーリンクである。

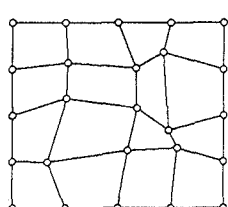


Figure 1 Rectangular element

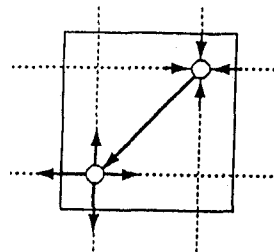


Figure 2 Network representation of element flow.

次に、要素通過時間関数の設定を行なう。要素に含まれる個々のリンクの走行時間関数は次のような修正B.P.R.関数とする。

$$T_i = T_{0i} \times \{1.0 + 2.62 (V_i / C_i)^5\} \quad (1)$$

T_i : リンク*i*の所要時間 T_{0i} : リンク*i*の自由走行時間
 V_i : リンク*i*の交通量 C_i : リンク*i*の交通容量

この式をもとに、要素通過時間関数を次のように設定する。

$$S_e(V_e) = \alpha \frac{De^{1/2}}{V_{0e}} \{1 + \beta (\frac{V_e}{C_e})^r\} \quad (2)$$

$S_e(V_e)$: 要素*e*の平均通過時間関数

V_e : 要素*e*の通過交通量

C_e : 要素*e*の交通容量

D_e : 要素*e*の面積

V_{0e} : 要素*e*の自由走行速度

α, β, r : 単位を持たないパラメータ

ただし、要素*e*の自由走行速度 V_{0e} 、交通容量 C_e は、次のように定義する。

$$V_{0e} = \frac{\sum L_i}{\sum (L_i / V_{0i})}; \quad C_e = \frac{\sum L_i C_i}{D e^{1/2}} \quad (3)$$

L_i : 要素内リンク*i*のリンク長

V_{0i} : 要素内リンク*i*の自由走行速度

3.シミュレーションによるパラメータの推計

シミュレーションを用いて、要素走行時間関数のパラメータ α, β, r を推計する手順を説明する。Figure 1の要素内詳細ネットワークの要素境界に位置するノードを交通の発生・集中ノードとして、OD交通量を変化させ（要素内の発生交通を考えるために要素内のノードと要素境界ノードの間にも適当な割合のOD交通量を与える）、利用者均衡配分を行えば、要素の平均通過時間と要素の総通過交通量に関する複数組のデータポイントを求めることができる。これらのデータポイントを用いた最小二乗法により、 α, β, r を推計する。リンク容量やノード位置、ODパターンなどをランダムに変化させ、種々のシミュレーションを行なった結果、次のようなパラメータ値を得た。

$$\alpha = 1.10 \sim 1.20; \beta = 6.00 \sim 7.00; r = 3.60 \sim 4.00$$

この結果から見られるように、各パラメータの値はネットワークの特徴、ODパターン等による変動が小さく、ほぼ安定した値を取ることがわかる。

4.数値計算例

一辺20リンクの仮想的な格子状ネットワークを49個の等面積の正方形要素に分割し、提案した要素通過時間関数及び推計された各パラメータの値を用い

て、連続体近似による配分計算（分割配分法、10回繰り返し）を行なった。その計算結果を連続体に近似しない場合と比較した。ネットワーク規模及び計算時間は表-1に示す通りである。要素レベルの通過フロー及びトリップ時間の比較を、Figures 3-4に示す。これらの図、表より連続体近似を行うと計算時間は大幅に短縮され、連続体近似しない場合と比較した精度も悪くないことがわかる。若干の誤差が生じたのは、主として要素内詳細ネットワークの不均質によるものである。各要素内ネットワークが均質になるように要素分割を行えば、ある程度誤差を小さくすることができる。さらに、容量の大きいリンクを通常のネットワークで表わし、細街路のみ連続体近似することによって要素内ネットワークを均質化する、2レベルのネットワークを用いた配分計算方法が考えられる。この方法を用いると、計算精度が上がるだけではなく、特に重要な幹線道路の詳細リンクフローを得ることができる。したがって連続体近似モデルの大きな欠点である「詳細リンクフローが得られない」という問題が解消される。

なお、Figures 5-6は連続体近似によって求められた交通強度の分布を表している。このような二次元的表示により、計算結果の視覚的検討が容易となる。

表-1 ネットワーク規模及び計算時間の比較

| | 連続体近似 しない場合 | 連続体近似 した場合 |
|-------------------|----------------|---------------|
| ノード数 | 441 | 98 |
| リンク数 | 1680 | 217 |
| セントロイド数 | 49 | 49 |
| 必要メモリー | 67KB | 20KB |
| 繰り返し1回当たり | (単位ミリ秒) | |
| 平均計算時間 | 218 | 30 |
| うち最短経路探索 によるもの | 192 | 16 |
| 全計算時間 | 2420 | 434 |

5. おわりに

ネットワークの連続体近似による方法は、ネットワーク交通流をマクロに解析するうえで一つの有力な方法（特に計算の効率化と計算結果の表示）であることがわかった。ただし、要素内ネットワークが不均質な要素において誤差が大きく、また要素内の概略のフローは得られるが詳細なリンクフローが得られない、という欠点を持っている。これを解消するためのより実用的な方法として、2レベルネットワークを用いる方法が考えられ、現在、その検討を進めている段階である。

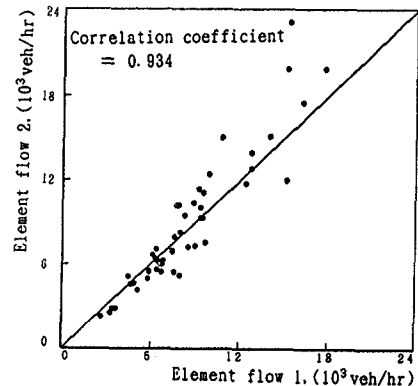


Figure 3 Relationships between element flow 1 obtained by continuum approximation and element flow 2 obtained by detailed network.

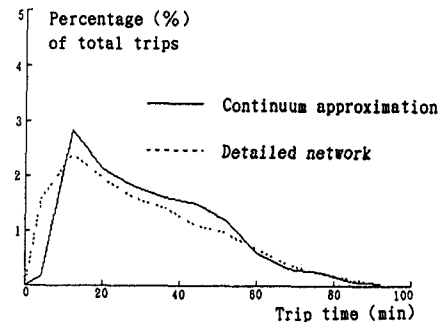


Figure 4 Comparison of trip time distributions between continuum approximation and detailed network.

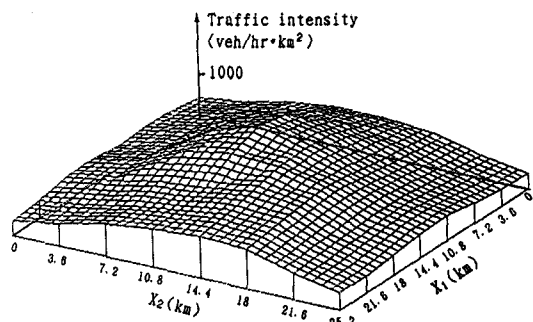


Figure 5 Traffic-intensity distribution over urban space.

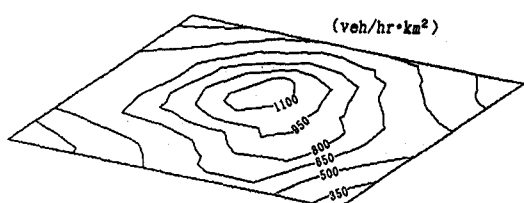


Figure 6 Equi-intensity lines of traffic distribution.